

ارزیابی یک پاشنده فنجانی دوار و تولید قطره به منظور استفاده در سامانه‌های نمک‌زدایی از آب‌های شور

شهداد کامپیروزی<sup>۱</sup>، شیوا گرجیان<sup>۲\*</sup>، برات قبادیان<sup>۳</sup>

- دانشجوی کارشناسی ارشد، گروه مکانیک پیوسمت، دانشگاه تربیت مدرس،  
k.shahdad@modares.ac.ir

۲. استادیار گروه مکانیک پیوسمت، دانشگاه تربیت مدرس،  
gorjian@modares.ac.ir

۳. استاد گروه مکانیک پیوسمت، دانشگاه تربیت مدرس،  
ghobadib@modares.ac.ir

حکیمہ

یکی از منابع تأمین آب در شرایط خشکسالی استفاده از آب‌های شور و لب‌شور است. از این‌رو، نمک‌زدایی یکی از قدیمی‌ترین فناوری‌هایی است که بشر برای خالص‌سازی آب‌شور در جهان از آن استفاده کرده است. در سال‌های اخیر، فناوری تبخیر پاششی برای دفع فاضلاب با شوری زیاد در بسیاری از مصارف صنعتی از جمله نمک‌زدایی از آب دریا و تصفیه فاضلاب به دلیل مزایای آن از میزان تبخیر بالا و عدم وجود شورابه پیشنهادشده است. از این‌رو در این تحقیق، با توجه به نیاز تولید قطره با کمیت و کیفیت مناسب و همچنین کمینه انرژی مصرفي در تبخیر پاششی، به طراحی و ساخت یک پاشنده فنجانی دوار به کمک فناوری پرینت سه‌بعدی و ارزیابی آن به کمک کاغذهای حساس به آب و پردازش تصویر با نرم‌افزار Image پرداخته شده است. ارزیابی پاشنده ساخته شده توسط کاغذهای حساس به آب نشان داد که اندازه قطره بیش از هر چیز وابسته به سرعت دورانی فنجان است و با افزایش سرعت دورانی علاوه بر کاهش قطر قدرات تولیدشده، میانگین قطر قدرات تولیدشده نیز یکنواخت تر خواهد شد. نتایج ارزیابی نشان دادند پاشنده ساخته شده در سرعت دورانی rpm ۲۰۰۰، با کمینه انرژی مصرفي، تولید قطره دارای عملکرد بالاتری نسبت به دیگر شرایط ارزیابی دارد و قطر میانگین قطرات یکنواخت تر است.

**كلمات کلیدی:** نمک‌زدایی، قطره، پاشنده فنجانی دوار، تبخیر پاششی، یردازش تصویر.

نویسنده مسئول\*

شہزادے

gorjian@modares.ac.ir ; [میر](#)

مقدمة

در حال حاضر تولید آب شیرین یکی از مهم ترین مشکلات جهان امروزی به خصوص در مناطق با آب و هوای خشک است. ایران نیز با توجه به اینکه در کمرنگ خشک زمین قرار گرفته با بحران جدی آب مواجه است [1]. یکی از منابع تأمین آب در شرایط خشک سالی استفاده از آب های شور است، از این رو نمک زدایی یکی از قدیمی ترین فناوری هایی است که بشر برای خالص سازی آب شور در جهان از آن استفاده کرده است. تقطیر خورشیدی با روش رطوبت زنی و رطوبت زدایی (HDH)<sup>1</sup> یک راهکار مفید است که بر اساس ظرفیت ترکیب هوا با مقدار زیاد بخار آب استوار بوده و اصول ترمودینامیکی آن با استفاده از نمودار روان سنجی<sup>2</sup> قابل توضیح است. در سال های اخیر، فناوری تبخیر پاشی برای دفع فاضلاب با شوری زیاد در بسیاری از محارف صنعتی از جمله نمک زدایی از آب دریا و تصفیه فاضلاب به دلیل مزایای آن از میزان تبخیر بالا و عدم وجود شورابه پیشنهاد شده است [3]. آزمایش ها و مطالعات بسیاری بر روی تأثیر جهت پاشش بر روی پدیده تبخیر انجام شده اند. نتایج نشان داده اند که روش استفاده از نازل به سمت بالا و پاشش به صورت فواره ای مسافت کمتری برای تکمیل تبخیر نسبت به سایر روش های به کار گیری نازل خواهد داشت [4]. در تحقیقی به منظور بهبود عملکرد تبخیر، یک محفظه تقطیر پاششی از نوع سیکلون توسعه داده شد. تأثیر نسبت حجم گاز به مایع، دما و سرعت هوای گرم ورودی، دمای مایع تغذیه و فشار نازل هنگام تبخیر به صورت آزمایشی و عددی مورد بررسی قرار گرفت. نتایج نشان داده اند که جریان چرخشی، زمان افامت قطرهای را در محفظه را طولانی تر می کند، بنابراین عملکرد تبخیر می تواند بهبود یابد [5]. توسعه سریع میدان حرارتی ارتباط نزدیکی انتقال گرما و تغییر فاز شدید دارد از این رو با افزایش دمای هوای گرم ورودی به محفظه تبخیر، می توان عملکرد تبخیر را به میزان قابل توجهی بهبود داد [5]. آزمایش هایی برای بررسی تأثیر عدد ژاکوب (Ja) روی تبخیر ناگهانی<sup>3</sup> به وسیله پاشش تحت فشار و دمای بالا انجام شده اند. نتایج آن ها نشان داده اند که با افزایش عدد ژاکوب عملکرد تبخیر ناگهانی افزایش خواهد یافت [6]. در تحقیقی عددی برای تجزیه و تحلیل تبخیر ناگهانی، از مدل تبخیر کنترل شونده<sup>4</sup> استفاده شد. نتایج نشان داده اند که قطر محاسبه شده قطره نقش مهمی را در سرعت و عملکرد تبخیر ایفا می کند [7]. در یک تحقیق تجربی، توسعه و مطالعه فرآیند پاشش در تبخیر ناگهانی در حالی که آب داغ در محفظه ای تحت خلا<sup>5</sup> پاشیده می شود را مورد بررسی قراردادند. نتایج نشان داده اند که نازل های با قطر کوچک تر توانایی ایجاد قطره های ریز را خواهند داشت و همچنین قطره های کوچک تر این امکان را می دهند که فرآیند تبخیر در طی یک فاصله عمودی کمتر از ۵۰ متر تکمیل شود. بنابراین، امکان طراحی تبخیر کننده های کوچک تر فراهم خواهد شد [8].

با توجه به پیشینه‌ی تحقیق و بررسی‌های انجام شده بر روی سامانه‌های نمک‌زدایی پاششی، محققین بیشتر به استفاده از نازل با فشار بالا و شرایط عملکردی تحت فشار پایین و استفاده خلاً پرداخته‌اند. همان‌طور که پیدا است از پاشش در سامانه‌های نمک‌زدایی به افزایش عملکرد تبخیر و تولید آب شیرین کمک قابل توجهی خواهد کرد. راهکارهایی که محققین تابه‌حال استفاده کرده‌اند دارای مزایا و معایب متعددی هستند. استفاده از نازل‌ها و انواع شرایط کارکرد همان‌طور که بیان شد موجب تولید قطره از آب شور خواهی شد اما نکته‌ی قابل توجه در مورد استفاده از آن‌ها نیاز به فشار بالا برای تولید قطره وجود ارتباط مستقیم بین فشار بالاتر و کوچک شدن

<sup>1</sup> Humidification-dehumidification

## <sup>2</sup> Psychometric chart

<sup>3</sup> Jakob number

#### <sup>4</sup> Evaporation flash

## <sup>5</sup> Diffusion-controlled evaporation model



اندازه قطره است. ایجاد فشارهای بالا خود نیاز به صرف انرژی زیادی خواهد داشت. با وجود افزایش عملکرد تولید آب شیرین باید توجه داشت که عامل مخرب انرژی مصرفی موردنیاز برای تولید قطره‌های کوچک نیز افزایش پیدا خواهد کرد. از طرفی نیز نازل‌ها تولنایی تولید قطره با قطر میانگین یکسان را نداده است و پراکندگی قطر قطره نیز وجود خواهد داشت که این امر در طراحی سامانه نمک‌زدایی پاششی چالش‌هایی را به وجود خواهد آورد. لذا، در این تحقیق با ارزیابی یک پاشنده فنجانی دوار<sup>۱</sup> به وسیله پردازش تصویر<sup>۲</sup> و کاغذهای حساس به آب<sup>۳</sup>، امکان تولید قطره به منظور نمک‌زدایی با کمینه انرژی مصرفی بررسی شده است.

### مواد و روش‌ها

طراحی پاشنده فنجانی دوار با در نظر گرفتن مقدار معینی از قطر قطره تولیدی، خصوصیات فیزیکی سیال ورودی و دبی حجمی آن انجام می‌گیرد. مقادیر فرض شده شامل؛ قطر میانگین قطره  $\mu\text{m}$  ۱۰۰-۱۲۰ و آب‌شور خوراک (آب دریا) با سطح شوری ppm ۳۵۰۰۰ است. قطر قطره یکی از مهم‌ترین عوامل در عملکرد تبخیر فناوری نمک‌زدایی پاششی است. اگر قطره‌ای با قطر  $\mu\text{m}$  ۱۰۰ به صورت آزاد و بدون شتاب از ارتفاع مشخصی رها شود، بیشینه زمان موردنیاز برای تبخیر کامل آن در دمای اتاق ۷ ثانیه است [۹]. ازین رو این فرض برای طراحی پاشنده فنجانی در نظر گرفته شده است.

با معین بودن قطر قطره (D) تولیدشده و در نظر گرفتن رابطه بین سرعت زاویه‌ای فنجان دوار و شعاع آن طبق رابطه (۱) [۱۰]، شعاع فنجان تعیین می‌شود. در این رابطه با توجه به محدودیت‌ها در ساخت و امکان‌پذیر بودن آن، سرعت زاویه‌ای در حدود  $500 \text{ rad.s}^{-1}$  در نظر گرفته شده است.

$$D = \sqrt{\frac{A\gamma}{\rho\omega^2 R}} \quad (1)$$

که در این رابطه؛

$A$  = مقدار ثابت و برابر ۶

$\gamma$  = کشش سطحی آب دریا ( $0.07215 \text{ N.m}^{-1}$ )

$\rho$  = چگالی آب دریا ( $1022 \text{ kg.m}^{-3}$ )

$\omega$  = سرعت زاویه ( $523 \text{ rad.s}^{-1}$ )

$R$  = شعاع فنجان (m)،

$D$  = قطر میانگین قطره ( $100 \mu\text{m}$ ).

فرآیند پاشش و تولید در پاشنده فنجانی دوار (گریز از مرکز) به سه مرحله تقسیم می‌شود: اول، سیال به یک لایه‌ی نازک بر روی سطح داخلی پاشنده پخش می‌شود. سپس رشته‌های سیال درون دندانه‌های داخلی فنجان تشکیل می‌شوند و درنهایت رشته‌های سیال در لبه‌های فنجان شکسته می‌شوند و یک قطره را ایجاد می‌کنند [۱۲]، [۱۱]. جریان سیال درون فنجان دوار یک جریان چرخش متقاضن محوری است. با توجه به مختصات قطبی هیدرودینامیک غیرقابل تراکم، قوانین سیال نیوتونی و حرکت معتبر است. بنابراین، روابط (۲) و (۳) را می‌توان ارائه کرد [۱۳].

$$\rho \frac{u_r}{r} + \rho \frac{\partial u_r}{\partial r} + \frac{1}{r} \frac{\partial}{\partial \theta} (\rho u_\theta) = 0 \quad (2)$$

<sup>1</sup> Rotary cup atomizer

<sup>2</sup> Image processing

<sup>3</sup> Water-sensitive papers

$$u_r \frac{\partial u_r}{\partial r} + \frac{u_\theta}{r} \frac{\partial u_r}{\partial \theta} - \frac{u_r^2}{r} + u_z \frac{\partial u_r}{\partial z} = -\frac{1}{\rho} \frac{\partial p}{\partial r} + \frac{\mu}{\rho} \left[ \frac{\rho}{\partial r} \left( \frac{u_r}{r} + \frac{\partial u_r}{\partial r} \right) + \frac{\partial^2 u_r}{\partial z^2} \right] \quad (3)$$

در این روابط:

سرعت شعاعی ( $m.s^{-1}$ ) =  $u_r$

سرعت محوری ( $m.s^{-1}$ ) =  $u_z$

$$\text{سرعت مماسی} = u_\theta \cdot (\text{m.s}^{-1})$$

از آنجاکه الگوی جریان سیال روی سطح پاشنده فنجانی دوار جریان لغزشی نیست، شرایط مرزی گاز-مایع حاکم است بنابراین فشار تقریباً صفر است. طبق رابطه (۴) دبی حجمی ورودی به پاشنده تعیین خواهد شد و همچنین طبق رابطه (۵) ضخامت لایه نازک سیال در انتهای لبه پاشنده تعیین خواهد شد.

$$Q = \int_0^{2\pi} \int_0^\delta u_r r d\theta dz = 2\pi \int_0^\delta u_r r dz \quad (\epsilon)$$

$$\delta = \left( \frac{3}{2} \frac{Q\mu}{\pi r^2 \omega^2 \rho} \right)^{1/3} \quad (5)$$

در این روابط:

$\delta = \text{ضخامت لایه نازک سیال}$  (m)

**گرانروی دینامیک سیال** =  $\mu$  (N.s.m<sup>-2</sup>)

$$\text{دبي حجمي} = Q \left( \text{m}^3 \cdot \text{s}^{-1} \right)$$

.(mm) فنجان شعاع =  $r$

ساختار یک پاشنده فنجانی دوار علاوه بر موارد ذکر شده شامل متغیرهایی دیگری نیز است. تأثیر تعداد شیار، هندسه دندانه، زاویه مخروطی و ارتفاع دیگر متغیرهایی هستند که در عملکرد پاشش نادیده گرفته شده و روابط بین شده ساده سازی شده‌اند. شیارها و دندانه‌های تیز در عملکرد تحلیله و انحراف قطره‌ها تأثیرگذار هستند بنابراین می‌توان چسبندگی سیال درون فنجان را افزایش داد. زاویه مخروطی و ارتفاع می‌تواند بر طول تماس سیال با دیواره پاشنده تأثیر بگذارد بنابراین، به عملکرد پاشش، مؤثر خواهد بود اما در این تحقیق نادیده گرفته شده است.

بر اساس فرضیات و روابط بیان شده قطر فنجان mm ۱۱۶ و دی آب ورودی<sup>۳۰</sup> lit.h<sup>-۱</sup> محاسبه شد و هندسه فنجان موردنظر به کمک فناوری پرینتر سه بعدی ساخته شد. نمای سه بعدی و برش خورده از پاشنده فنجانی دوار به همراه اجزای تشکل دهنده در شکل ۱ نمایش داده شده است. عملکرد پاشنده ساخته شده در سه سطح سرعت دورانی rpm ۳۵۰۰، ۶۰۰۰ و ۸۵۰۰ از نظر کمیت و کیفیت تولید قطره به کمک کاغذهای حساس به آب و همچنین انرژی مصرفی مورد ارزیابی قرار گرفت.

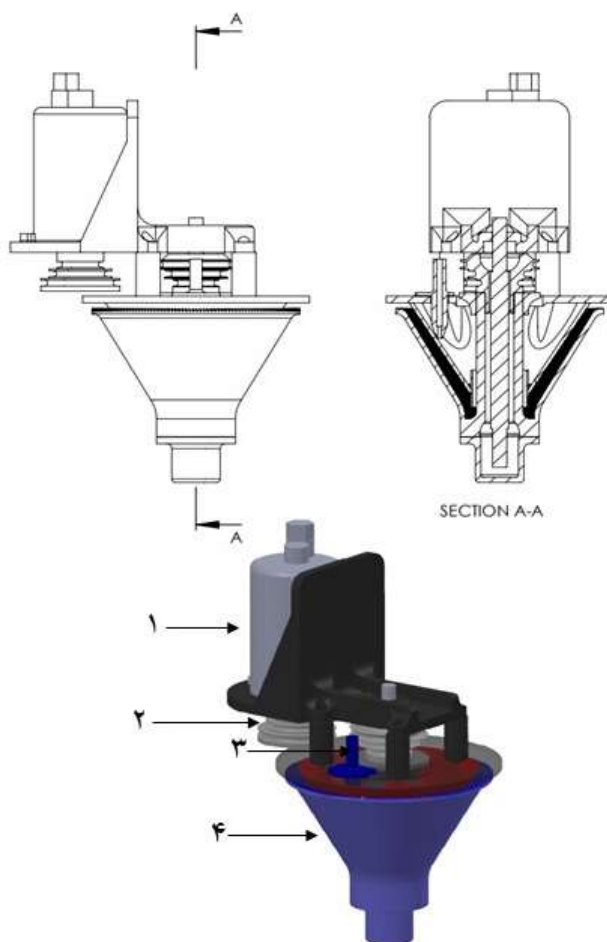
به منظور ارزیابی متغیرهای مورد نظر در پاشنده دوار از کاغذهای حساس به آب استفاده شد. این کاغذها زردرنگ هستند و حاوی محلول آبی بوده که به محض برخورد آب به علت یونیزه شدن رنگ اصلی، آبی رنگ می‌شوند و اثر قطره را بر روی خود ثبت می‌کند که با دقیق خوبی با روش پردازش تصویر امکان تجزیه تحلیل کمیت و کیفیت قطره‌های تولید شده را می‌دهد.

استفاده شد. ایندا نیاز است که تصویر از کاغذهای موردنظر پرداشت شود تا قابل پردازش باشد.

نرم افزار ImageJava کد نویسی شده و یک نرم افزار پردازش تصویر است که در بسیاری از مسائل پردازش و تحلیل تصاویر استفاده می‌شود. این نرم افزار توسط موسسه ملی بهداشت (آمریکا) توسعه داده شد و در

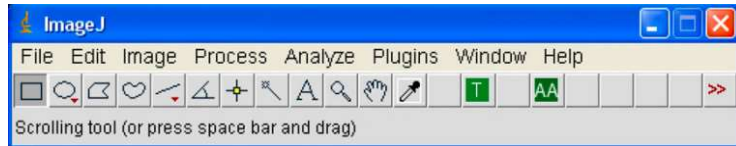
<sup>1</sup> Bromophenol blue

حال حاضر آزادانه در دسترس عموم است [14]. از ImageJ می‌توان برای اندازه‌گیری یک ناحیه و شمارش تعداد نقاط در مناطق تعریف شده توسط کاربر یا در کل تصویر استفاده کرد. شکل مناطق انتخاب شده می‌تواند مستطیل، ییضوی یا نامنظم باشد. این برنامه به طور همزمان از هر تعداد تصویر پشتیبانی می‌کند و فقط توسط حافظه دسترسی تصادفی موجود محدود می‌شود. سرعت پردازش تصویر این نرمافزار ۴ میلیون پیکسل در ثانیه است. از یک درایور TWAIN، یک پروتکل نرمافزاری استلندر و رابط برنامه‌نویسی برنامه‌ها برای ارتباط بین برنامه ImageJ و اسکنر انتخاب شده استفاده می‌شود.



شکل ۱: نمای سه بعدی و برش خورده از مدل نهایی پاشنده فنجانی دوار تشکیل شده از: ۱- موتور، ۲- گیربکس افزاینده، ۳- ورودی آب، ۴- فنجان دوار.

ابتدا به کمک نرمافزار ImageJ یک کاغذ حساس به آب (یا هر نوع بستری که این توانایی را داشته باشد) را اسکن کرده و باید آن را به یک تصویر در ابعاد خاکستری ۸ بیتی تبدیل کرد (شکل ۲).



## شکل ۲: نمایی از نرم افزار ImageJ

سپس با وارد شدن به بخش ANALYSIS، کاربر عملکرد موردنیاز خود را اجرا می‌کند و نرم‌افزار پیکسل‌های سیاه و سفید را می‌شمارد و سپس منطقه‌ای را برای تجزیه و تحلیل انتخاب می‌کند تا تعداد نقاط و مساحت هر نقطه را در بخش انتخاب شده به دست آورد. درنهایت، برنامه دسته‌های  $D_{V0.1}$  و  $D_{V0.5}$  و  $D_{V0.9}$  را محاسبه می‌کند و نتایج را از ناحیه بخش انتخاب شده شامل؛ تعداد کل نقاط و درصد منطقه تحت پوشش لکه‌ها نمایش می‌دهد.  $D_{V0.1}$  و  $D_{V0.5}$  و  $D_{V0.9}$  توزیع قطر قطرات را نشان می‌دهد به طوری که قطرات با قطر کوچک‌تر از  $D_{V0.1}$  و  $D_{V0.5}$  و  $D_{V0.9}$  به ترتیب ۱۰، ۵۰ و ۹۰ درصد حجم کل مایع را تشکیل می‌دهد. این برنامه برای تنظیم کیفیت تشخیص تصویر دو گزینه برای انتخاب آستانه دارد. اولین گزینه به سیستم اجازه می‌دهد تا آستانه تشخیص را بر اساس تباين تصویر به طور خودکار انتخاب کند. گزینه دوم یک آستانه تعیین شده توسط کاربر برای انتخاب کیفیت تشخیص تصویر برای مطابقت با الگوهای واقعی است.

برای تبدیل ناحیه نقطه به قطر قطره واقعی از رابطه (۶) استفاده می‌شود [۱۵]:

$$d = 0.95 d_s^{0.91} \quad (6)$$

$$d_s = \sqrt{\frac{4A}{\pi}} \quad (\forall)$$

در این رابطه:

$d$  = قطر حسب ( $\mu\text{m}$ ) :

مساحت ناحیه رنگی حسب  $(\mu\text{m}^2)$  = A

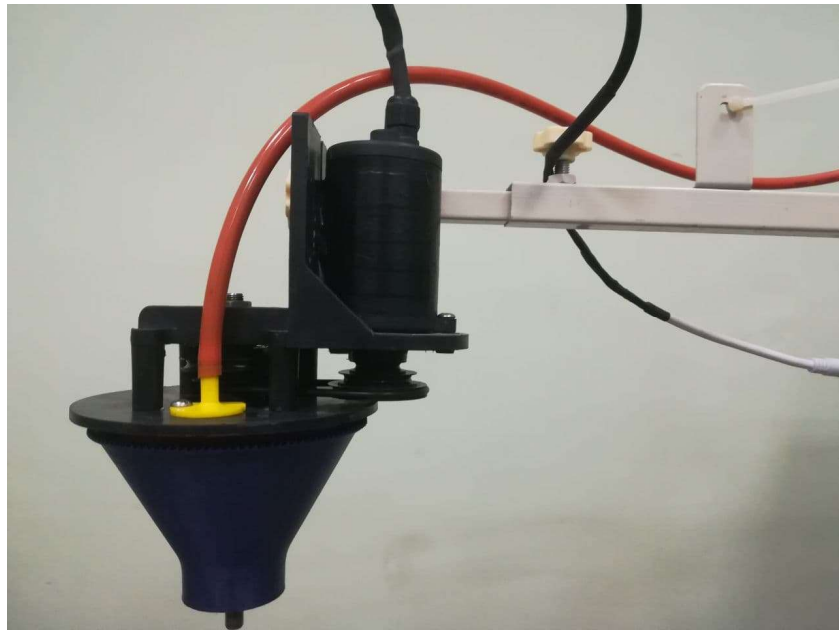
ناحیه لکه به دست آمده برابر است با تعداد پیکسل های عکس نقطه ای تقسیم بر روی وضوح اسکن محاسبه می شود. در این برنامه، وضوح اسکن  $2400 \text{ نقطه در هر اینچ (dpi)}$  یا  $10/\mu\text{m}$  در هر پیکسل انتخاب شده است. درنهایت برای محاسبه قطره واقعی از رابطه (۸) می توان استفاده کرد.

$$d = 1.6 A^{0.455} \quad (\text{A})$$

لازم به ذکر است که این برنامه نمی‌تواند ناحیه رنگی که از یک قطره تا چند قطره باهم تداخل دارند را تشخیص دهد.

بحث و نتایج:

فنجان ساخته شده به کمک فناوری پرینت سه بعدی در شرایط ثابت فشار bar ۱ و دبی حجمی  $30 \text{ lit.h}^{-1}$  در سه سطح سرعت دورانی rpm ۳۵۰۰، ۲۰۰۰ و ۸۵۰۰ توسط کاغذهای حساس به آب و پردازش تصویر مورد ارزیابی قرار گرفت (شکل ۳). اثر بهای مانده قطرات آب بر روی کاغذهای حساس، به آب در شکل ۴ نشان داده شده است.



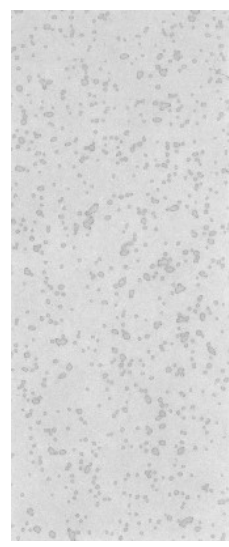
شکل ۳: نمایی از پاشنده فنجانی دوار ساخته شده در این تحقیق.



ج- ۸۵۰۰ rpm



ب- ۶۰۰۰ rpm



الف- ۳۵۰۰ rpm

شکل ۴: سه نمونه از اثر قطره بر روی کاغذهای حساس به آب در دورهای مختلف پاشنده دوار فنجانی.

ارزیابی کاغذهای حساس به آب نشان داد که به ترتیب در سه سطح دور ارزیابی شده،  $\frac{1}{4}/\frac{1}{5}$ ،  $80\%$ ،  $61/5$  و  $9/4$  از قطرات با قطر میانگین  $100 \mu\text{m}$  هستند و انرژی مصرفی نیز به ترتیب برابر با  $48 \text{ Wh}$ ،  $1/22$  و  $2/19$  به دست آمد (جدول ۱).

جدول ۱: نتایج حاصل از ارزیابی کاغذهای حساس به آب.

انرژی مصرفی (Wh)

قطر میانگین  $100 \mu\text{m}$  (%)

سرعت دورانی (rpm)

۱۹/۲	۹/۴	۳۰..
۲۷/۱	۶۱/۰	۶۰..
۴۸	۸۰	۸۰..

نتایج ارزیابی نشان می‌دهد که با افزایش سرعت دورانی از  $3500 \text{ rpm}$  به  $6000 \text{ rpm}$ ، میزان تولید قطره با قطر میکانگین  $100 \mu\text{m}$ ،  $650 \text{ افزايش} \%$  یافت در حالی که انرژی مصرفی  $41 \text{٪}$  افزایش پیدا کرد است. از سوی دیگر با افزایش سرعت دورانی از  $6000 \text{ rpm}$  به  $8500 \text{ rpm}$ ، میزان تولید قطره با قطر میکانگین  $100 \mu\text{m}$ ،  $30 \text{ افزايش} \%$  پیدا کرد است. این در حالی است که انرژی مصرفی  $77 \text{٪}$  افزایش داشته است.

نتیجہ گیری:

فناوری نمک‌زدایی پاششی، یکی از راهکاری‌های مفید برای افزایش عملکرد تبخیر در نمک‌زدایی حرارتی است. از این‌رو نیاز است در شرایط کمبود منابع آب شیرین، به منظور افزایش عملکرد تبخیر در سامانه‌های نمک‌زدایی حرارتی به توسعه انواع پاشنده‌ها پرداخت. ارزیابی پاشنده فنجانی دوار ساخته شده توسط کاغذهای حساس به آب نشان داد که اندازه قطره بیش از هر چیز وابسته به سرعت دورانی فنجان است و با افزایش سرعت دورانی علاوه بر کاهش قطر قدرات تولیدشده، میانگین قطر قطرات تولیدشده نیز یکواحت تر خواهد شد. نتایج ارزیابی نشان داد که با افزایش سرعت دورانی از  $3500 \text{ rpm}$  به  $6000$ ، میزان تولید قطره با قطر میانگین  $100 \mu\text{m}$ ،  $1/5$  برابر شده است در حالی که انرژی مصرفی  $41$  درصد افزایش پیدا کرده است. از سویی دیگر با افزایش سرعت دورانی از  $6000 \text{ rpm}$  به  $8500$ ، میزان تولید قطره با قطره میانگین  $100 \mu\text{m}$ ،  $30\%$  افزایش پیدا کرده است. این در حالی است که انرژی مصرفی  $77\%$  افزایش داشته است. لذا، پاشنده ساخته شده در سرعت دورانی  $6000 \text{ rpm}$ ، از جهات انرژی مصرفی، کمیت و کیفیت تولید قطره دارای عملکرد بالاتری نسبت به دیگر شرایط ارزیابی داشت. شایان ذکر است برای تعیین حالت بهینه عملکرد نیاز است آزمایش‌های گسترده‌تر به همراه در نظر گرفتن دیگر عوامل ساختاری پاشنده فنجانی دوار صورت پذیرد. با توجه به نتایج ارزیابی استفاده از پاشنده فنجانی دوار در سامانه‌های نمک‌زدایی پاششی منجر به کاهش ارتقای محفظه تبخیر و افزایش زمان اقامت قطره خواهد شد و همچنین با توجه به سطح مصرف انرژی در مقایسه استفاده از نازل‌ها با فشار و از سوی دیگر بهبود کیفیت تولید قطره از نظر قطر میانگین یکسان، افزایش عملکرد نمک‌زدایی حرارتی را به همراه خواهد داشت.

منابع

- [1] S. Gorjani and B. Ghobadian, "Erratum: Solar desalination: A sustainable solution to water crisis in Iran (Renew. Sustain. Energy Rev. (2015) 48 (571-584)),"*Renewable and Sustainable Energy Reviews*, vol. 49. Elsevier Ltd, p. 1323, Sep. 01, 2015, doi: 10.1016/j.rser.2015.04.009.
  - [2] S. Feng, L. Xiao, Z. Ge, L. Yang, X. Du, and H. Wu, "Parameter analysis of atomized droplets sprayed evaporation in flue gas flow,"*Int. J. Heat Mass Transf.*, vol. 129, pp. 936–952, 2019, doi: 10.1016/j.ijheatmasstransfer.2018.10.023.
  - [3] F. Xuening, C. Lei, D. Yuman, J. Min, and F. Jinping, "CFD modeling and analysis of brine spray evaporation system integrated with solar collector,"*Desalination*, vol. 366, pp. 139–145, 2015, doi: 10.1016/j.desal.2015.02.027.
  - [4] Y. Ikegami, H. Sasaki, T. Gouda, and H. Uehara, "Experimental study on a spray flash desalination (influence of the direction of injection),"*Desalination*, vol. 194, no. 1–3, pp. 81–89, 2006, doi: 10.1016/j.desal.2005.10.026.
  - [5] C. Shi *et al.*, "Experimental and numerical investigation on the evaporation performance of a cyclone-type spray desalination chamber,"*Desalination*, vol. 467, no. January, pp. 125–135, 2019, doi: 10.1016/j.desal.2019.06.012.

- [6] C. JI, N. WANG, Z. CUI, and L. CHENG, "Role and influence of characteristic Jakob number in high-temperature and high-pressure flash evaporation process," *CIESC J.*, no. 10, p. 16, 2016.
- [7] H. T. Shin, Y. P. Lee, and J. Jurng, "Spherical-shaped ice particle production by spraying water in a vacuum chamber," *Appl. Therm. Eng.*, vol. 20, no. 5, pp. 439–454, 2000, doi: 10.1016/S1359-4311(99)00035-6.
- [8] Q. Chen, K. J. M., Y. Li, and K. J. Chua, "Experimental and mathematical study of the spray flash evaporation phenomena," *Appl. Therm. Eng.*, vol. 130, pp. 598–610, 2018, doi: 10.1016/j.aplthermaleng.2017.11.018.
- [9] R. D. Grisso, S. Askew, and D. S. McCall, "Nozzles: selection and sizing," 2019.
- [10] P. Phairote, T. Plookphol, and S. Wisutmethangoon, "Design and Development of a Centrifugal Atomizer for Producing Zinc Metal Powder," *Int. J. Appl. Phys. Math.*, vol. 2, no. 2, pp. 77–82, 2012, doi: 10.7763/ijapm.2012.v2.58.
- [11] M. Ahmed and M. S. Youssef, "Influence of spinning cup and disk atomizer configurations on droplet size and velocity characteristics," *Chem. Eng. Sci.*, vol. 107, pp. 149–157, 2014, doi: <https://doi.org/10.1016/j.ces.2013.12.004>.
- [12] J. Liu, Q. Yu, and Q. Guo, "Experimental investigation of liquid disintegration by rotary cups," *Chem. Eng. Sci.*, vol. 73, pp. 44–50, 2012.
- [13] K. R. J. Ellwood, J. L. Tardiff, and S. M. Alaie, "A simplified analysis method for correlating rotary atomizer performance on droplet size and coating appearance," *J. Coatings Technol. Res.*, vol. 11, no. 3, pp. 303–309, 2014.
- [14] T. Collins, "ImageJ for Microscopy. BioTechniques, 43," S25-S30. <http://dx.doi.org/10.2144/000112517>, 2007.
- [15] M. Salyani and R. D. Fox, "Performance of image analysis for assessment of simulated spray droplet distribution," *Trans. ASAE*, vol. 37, no. 4, pp. 1083–1089, 1994.

## Evaluation of a Rotary Cup Atomizer and Droplet Production for Use in Desalination Systems

Shahdad Kamfirooz<sup>1</sup>, Shiva Gorjani<sup>2,\*</sup>, Barat Ghobadian<sup>3</sup>

1. Student, Biosystems Engineering Department, Tarbiat Modares University (TMU), Tehran, Iran.
2. Assistant Professor, Biosystems Engineering Department, Tarbiat Modares University (TMU), Tehran, Iran.
3. Professor, Biosystems Engineering Department, Tarbiat Modares University (TMU), Tehran, Iran.

### Abstract

One of the sources of water supply in drought conditions is the use of saline water. Therefore, desalination is one of the oldest technologies that humans have used to purify saline water in the world. In recent years, spray evaporation technology has been proposed to dispose of wastewater with high salinity in many industrial applications, including desalination of seawater and wastewater treatment due to its advantages of high evaporation rate and lack of brine. Therefore, in this study, according to the need to produce droplets with appropriate quantity and quality and also minimizing the energy consumption for spray evaporation, a rotary cup atomizer with the help of 3D printing technology was designed and evaluated with the help of water-sensitive papers and Image processing using ImageJ software. Evaluation of the cup atomizer made of water-sensitive papers showed that the droplet size more depends on the rotational

speed of the cup. The results indicated that as the rotational speed of the cup atomizer is increased, the diameter of the produced droplets is decreased while their mean diameter becomes more uniform. The evaluation results showed that the cup atomizer made at a rotational speed of 6000 rpm, with minimum energy consumption, had a higher performance of droplet production than other evaluation conditions and the mean droplet diameter was more uniform.

**Key words:** Desalination, Droplet, Rotary cup atomizer, Spray evaporation, Image processing.

\*Corresponding author  
E-mail: gorjian@modares.ac.ir